

葛根素通过 circ-TLK1/miR-367-3p/TLR4 抑制 SK-N-SH 细胞氧糖剥夺损伤

齐献忠，邢英瀛，张小林，贾燕燕

南阳市中心医院 神经内科，河南 南阳 473000

摘要：目的 探讨葛根素对缺血性脑卒中（ischemic stroke, IS）神经细胞损伤的保护作用及机制。方法 建立氧糖剥夺（oxygen-glucose deprivation, OGD）诱导的人神经母细胞瘤细胞 SK-N-SH 损伤模型，以葛根素进行干预，采用 qRT-PCR 法检测细胞 *circ*-丝氨酸/苏氨酸蛋白扰动样激酶 1（tousled-like kinase1, *TLK1*）和 *miR-367-3p* mRNA 表达情况；采用 MTT 法检测细胞存活率；采用流式细胞术检测细胞凋亡情况；采用 ELISA 法检测细胞上清液中白细胞介素-6（interleukin-6, IL-6）和肿瘤坏死因子- α （tumor necrosis factor- α , TNF- α ）水平；采用 Western blotting 检测细胞 Toll 样受体 4（Toll-like receptor 4, TLR4）蛋白表达情况。采用生物信息学在线软件预测 *miR-367-3p* 与 *circ-TLK1*、TLR4 之间的靶向关系；采用双荧光素酶标记实验和 RNA 结合蛋白免疫沉淀（RNA binding protein immunoprecipitation, RIP）实验验证靶向结合关系。**结果** 与模型组比较，葛根素能够明显提高 OGD 诱导的 SK-N-SH 细胞存活率 ($P < 0.05$ 、 0.01 、 0.001)，显著降低细胞凋亡率 ($P < 0.01$ 、 0.001)，显著降低 IL-6 和 TNF- α 水平 ($P < 0.01$ 、 0.001)。模型组 *circ-TLK1* mRNA 表达水平显著升高 ($P < 0.001$)，葛根素抑制 *circ-TLK1* mRNA 表达水平 ($P < 0.001$)，过表达 *circ-TLK1* 能够逆转葛根素对 OGD 诱导的 SK-N-SH 细胞损伤保护作用 ($P < 0.01$ 、 0.001)。*circ-TLK1* 能够靶向负调控 *miR-367-3p* 表达，模型组 *miR-367-3p* mRNA 表达水平显著降低 ($P < 0.001$)，葛根素显著上调 *miR-367-3p* mRNA 表达水平，抑制 *miR-367-3p* 能够逆转葛根素对 OGD 诱导的 SK-N-SH 细胞损伤保护作用 ($P < 0.05$ 、 0.001)。*miR-367-3p* 能够靶向负调控 TLR4 蛋白表达，模型组 TLR4 蛋白表达水平显著升高 ($P < 0.001$)，葛根素显著下调 TLR4 蛋白表达水平 ($P < 0.001$)，过表达 TLR4 能够逆转葛根素对 OGD 诱导的 SK-N-SH 细胞损伤保护作用 ($P < 0.05$ 、 0.001)。*circ-TLK1* 能够通过结合 *miR-367-3p* 调控 TLR4 表达。**结论** 葛根素能够通过作用于 *circ-TLK1*/ *miR-367-3p*/TLR4 对 IS 神经细胞损伤起到保护作用。

关键词：葛根素；*circ-TLK1*；*miR-367-3p*；TLR4；缺血性脑卒中；氧糖剥夺

中图分类号：R285.5 文献标志码：A 文章编号：0253-2670(2021)11-3286-10

DOI: 10.7501/j.issn.0253-2670.2021.11.016

Puerarin inhibits oxygen-glucose deprivation injury of SK-N-SH cells through circ-TLK1/miR-367-3p/TLR4

QI Xian-zhong, XING Ying-ying, ZHANG Xiao-lin, JIA Yan-yan

Internal Medicine-Neurology, Nanyang Central Hospital, Nanyang 473000, China

Abstract: **Objective** To explore the protective effect and mechanism of puerarin on neuronal damage in ischemic stroke (IS). **Methods** Oxygen glucose deprivation (OGD) induced SK-N-SH cells injury model was established. Puerarin was used to intervene SK-N-SH cells induced by OGD. Expression of *circ-TLK1* and *miR-367-3p* mRNA was detected by qRT-PCR. Cell viability was measured by MTT. Apoptosis was detected by flow cytometry. Levels of interleukin-6 (IL-6) and tumor necrosis factor- α (TNF- α) were analyzed by ELISA. Expression of Toll-like receptor 4 (TLR4) was detected by Western blotting. Bioinformatics online software was used to predict the targeting relationship between *miR-367-3p* and *circ-TLK1* or TLR4. Double luciferase labeling assay and RNA binding protein immunoprecipitation (RIP) assay were used to verify the targeted binding relationship. **Results** Compared with model group, puerarin significantly increased survival rate of SK-N-SH cells induced by OGD ($P < 0.05$, 0.01 , 0.001), reduced rate of apoptosis ($P < 0.01$, 0.001), reduced levels of IL-6 and TNF- α ($P < 0.01$, 0.001). *circ-TLK1* mRNA level of SK-N-SH cells in model group was significantly increased ($P < 0.001$), puerarin inhibited *circ-TLK1* mRNA level ($P < 0.001$), overexpression of *circ-TLK1* reversed the protective effect of puerarin on SK-N-SH cells induced by OGD ($P < 0.01$, 0.001).

收稿日期：2020-11-19

基金项目：河南省中医药科学研究专项课题（2018ZY3052）

作者简介：齐献忠（1968—），男，副主任医师，硕士，从事神经内科疾病研究。

circ-TLK1 targeted and negatively regulated *miR-367-3p* expression. *miR-367-3p* mRNA level of SK-N-SH cells in model group was significantly reduced ($P < 0.001$), puerarin significantly up-regulated *miR-367-3p* mRNA level, inhibited *miR-367-3p* reversed the protective effect of puerarin on SK-N-SH cells induced by OGD ($P < 0.05, 0.001$). *miR-367-3p* targeted and negatively regulated TLR4 expression. TLR4 protein expression of SK-N-SH cells in model group was significantly increased ($P < 0.001$), puerarin significantly down-regulated TLR4 protein expression ($P < 0.001$), overexpression of TLR4 reversed protective effect of puerarin on SK-N-SH cells induced by OGD ($P < 0.05, 0.001$). *circ-TLK1* regulated TLR4 expression by binding *miR-367-3p*. **Conclusion** Puerarin can protect IS nerve cells from damage via *circ-TLK1*/*miR-367-3p*/TLR4.

Key words: puerarin; *circ-TLK1*; *miR-367-3p*; TLR4; ischemic stroke; oxygen-glucose deprivation

脑卒中是导致残疾的主要原因，也是全球第2大常见的死亡原因^[1]。约87%脑卒中病例为缺血性脑卒中(ischemic stroke, IS)，IS的死亡率和致残率一直处于较高水平^[2]。有效保护神经元损伤在IS防治中至关重要^[3]。葛根素是从豆科植物野葛 *Pueraria lobata* (Willd.) Ohwi 的根中提取的异黄酮苷类物质，具有抗炎、抗氧化、抗肿瘤等多种药理作用^[4]。葛根素被广泛用于治疗急性缺血性中风、心脏病和其他全身性疾病^[5-6]。环状RNA(circRNA)通过微小RNA(miRNA)或与RNA结合蛋白相互作用形成circRNA-miRNA-mRNA复合物，在转录后基因表达的调节中起关键作用^[7]。研究发现，circRNA可能参与了IS的发病过程，具有作为IS的新型诊断生物标志物和分子治疗靶点的潜力^[8-9]。在IS患者和动物模型中，*circ*-丝氨酸/苏氨酸蛋白扰动样激酶1(tousled-like kinase1, TLK1)表达明显上调，敲除*circ-TLK1*能够显著减少脑梗死体积，减少缺血性神经元损害并改善神经功能缺损^[10]。因此，本研究基于*circ-TLK1*探究葛根素对IS的神经细胞保护作用及机制。

1 材料

1.1 细胞

人神经母细胞瘤细胞SK-N-SH购自美国ATCC。

1.2 药品与试剂

葛根素(质量分数≥98%，批号110752-201912)购自中国药品生物制品检定所；DMEM高糖培养基(批号1912)购自美国Hyclone公司；胎牛血清(批号SN201909)购自美国Gibco公司；Lipofectamine3000转染试剂(批号L3000-015)购自美国Invitrogen公司；MTT(批号MKBP6775V)购自美国Sigma公司；*circ-TLK1*过表达载体及空载Vector、*circ-TLK1*小干扰RNA(si-*circ-TLK1*)、siRNA阴性对照(si-NC)、*miR-367-3p*模拟物(*miR-367-3p mimics*)、*miR-367-3p*抑制剂(*miR-367-3p inhibitors*)

及相应用对照、Toll样受体4(Toll-like receptor 4, TLR4)过表达载体质粒和空载pcDNA均由上海吉玛制药技术有限公司合成；白细胞介素-6(interleukin-6, IL-6)ELISA检测试剂盒(批号20191120)、肿瘤坏死因子(tumor necrosis factor- α , TNF- α)ELISA检测试剂盒(批号20190608)购自上海酶联生物科技有限公司；Annexin V-FITC/碘化丙啶(PI)细胞凋亡试剂盒(批号MK1020)购自日本Takara公司；双荧光素酶标记试剂盒(批号E2920)、pmirGLO载体(批号E1330)购自美国Promega公司；RNA结合蛋白免疫沉淀(RNA binding protein immunoprecipitation, RIP, 批号KT102-01)购自美国Millipore公司；TLR4单抗、HRP标记的IgG二抗购自美国CST公司；RIPA裂解液(批号P0013)购自上海碧云天生物技术有限公司；BCA蛋白定量试剂盒(批号PC0020)购自北京索莱宝科技有限公司。

1.3 仪器

CR21GII型低温高速离心机购自日本日立公司；T-1186-340-LA型超低温冰箱购自天地精仪科技；MAXM5型多功能酶标仪购自美谷分子仪器；YXQ-LS-75G型高压灭菌锅购自诺基仪器；流式细胞仪购自北京仪美信科技。

2 方法

2.1 细胞培养

SK-N-SH细胞用含10%胎牛血清的DMEM高糖培养基，于5%CO₂、饱和湿度、37℃的培养箱中培养。

2.2 氧糖剥夺(oxygen-glucose deprivation, OGD)对SK-N-SH细胞存活率的影响

取处于对数生长期的SK-N-SH细胞，以 2×10^4 /孔接种于6孔板中，待细胞贴壁后使用PBS洗涤3次，用不含血清、无糖的DMEM培养基，于5%CO₂、1%O₂、94%N₂、37℃的培养箱中分别培养6、12、24 h；将培养基更换成DMEM高糖培养基，于5%

CO₂、饱和湿度、37 °C的培养箱中培养24 h，建立OGD细胞模型^[11]。加入100 μL MTT孵育4 h，弃上清，加入二甲基亚砜（DMSO），振荡至结晶完全溶解，采用酶标仪测定490 nm处的吸光度（A），计算细胞存活率。

$$\text{细胞存活率} = A_{\text{给药}} / A_{\text{对照}}$$

2.3 细胞转染

取处于对数生长期的SK-N-SH细胞，以 2×10^4 /孔接种于6孔板中，培养12 h，待细胞融合度达到50%时，按照试剂盒说明书将*circ-TLK1*过表达载体及空载Vector、*si-circ-TLK1*（5'-GGACATCTCAAA-AAGGCAACCA-3'）及si-NC、*miR-367-3p* mimics、*miR-367-3p* inhibitors及相对对照、*TLR4*过表达载体质粒及空载pcDNA转染至SK-N-SH细胞。

2.4 MTT法检测细胞存活率

取处于对数生长期的SK-N-SH细胞，以 2×10^4 /孔接种于6孔板中，培养12 h，加入不同质量浓度（20、40、80 μg/mL）的葛根素或用质粒转染，对照组加入不含药物的无糖DMEM培养基，于5% CO₂、1% O₂、94% N₂、37 °C的培养箱中培养12 h；将培养基更换成DMEM高糖培养基，于5% CO₂、饱和湿度、37 °C的培养箱中培养24 h。按“2.2”项下方法检测细胞存活率。

2.5 流式细胞术检测细胞凋亡情况

按“2.4”项下方方法处理细胞，收集细胞，分别加入Annexin V-FITC和PI染液，孵育15 min，采用流式细胞仪检测细胞凋亡情况。

2.6 ELISA法检测上清液中IL-6和TNF-α水平

按“2.4”项下方方法处理细胞，收集上清液，按ELISA试剂盒说明书测定IL-6和TNF-α水平。

2.7 qRT-PCR检测*circ-TLK1*和*miR-367-3p*mRNA表达情况

按“2.4”项下方方法处理细胞，收集细胞，按照试剂盒说明书提取总RNA并合成cDNA，进行qRT-PCR分析。引物序列见表1，将U6作为*miR-367-3p*内参，将GAPDH作为*circ-TLK1*内参。

2.8 双荧光素酶标记实验检测荧光素酶活性

将包含*miR-367-3p*结合位点的*circ-TLK1*的野生型序列（WT-*circ-TLK1*）或不具有*miR-367-3p*结合位点的突变体（MUT-*circ-TLK1*）插入pmirGLO载体，将质粒与*miR-367-3p* mimics或*miR-NC*共转染至SK-N-SH细胞，采用双荧光素酶标记试剂盒考察荧光素酶活性。

表1 引物信息

Table 1 Primer information

名称	序列（5'-3'）
<i>circ-TLK1</i>	F: ACAGTTTGAAAGCTTGGGATCT R: TGCTCCCACTTGCAACTCCA
<i>miR-367-3p</i>	F: GGACTGTTGCTAATATGCAACTC R: CTCAACTGGTGTGGAGTCG
GAPDH	F: ACCATCTCCAGGAGCGAGAT R: GGGCAGAGATGATGACCCTTT
U6	F: CGGGTTGTTTGCATTCT R: AGTCCCAGCATGAACAGCTT

2.9 RIP实验检测*miR-367-3p*与*circ-TLK1*和*TLR4*结合关系

以预冷的PBS洗涤SK-N-SH细胞2次，加入裂解液于冰上裂解，收集上清液，于-80 °C保存。制备重悬磁珠，加入IgG或Ago2抗体孵育，弃上清，以洗涤液洗涤3次，加入免疫沉淀缓冲液，离心取上清，提取免疫沉淀的RNA，并通过qRT-PCR检测，以确认结合靶点的富集水平。

2.10 Western blotting法检测*TLR4*蛋白表达情况

按“2.4”项下方方法处理细胞，收集细胞，加入RIPA裂解液，提取蛋白，蛋白样品经十二烷基硫酸钠-聚丙烯酰胺凝胶电泳，转至PVDF膜，于5%脱脂牛奶封闭2 h，加入*TLR4*抗体（1:1000），4 °C孵育过夜；洗涤3次后，加入HRP标记的IgG二抗，孵育2 h，使用ECL试剂盒显色，采用Image J软件分析。

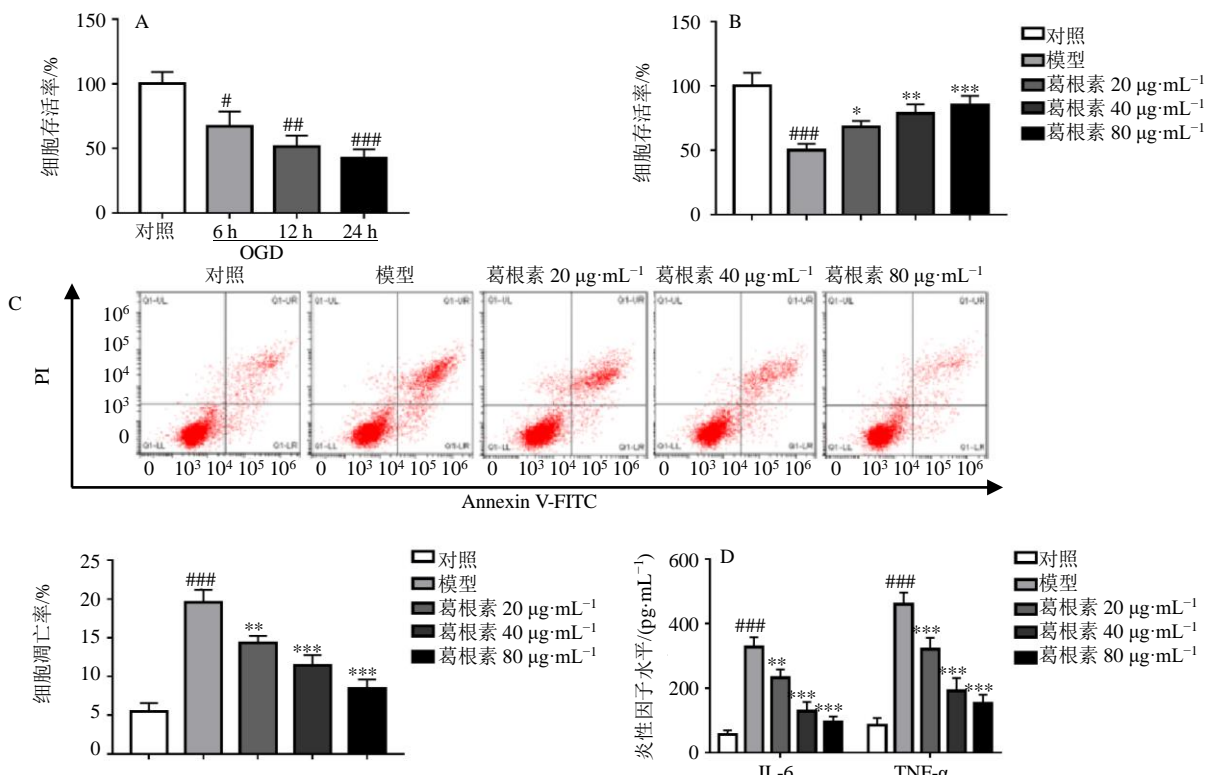
2.11 统计学分析

采用SPSS 21.0软件对数据进行统计学分析，数据以 $\bar{x} \pm s$ 表示，两组间比较采用t检验，多组间比较采用单因素方差分析，组间两两比较采用SNK-q检验。

3 结果

3.1 葛根素抑制OGD所致的SK-N-SH细胞损伤

如图1-A所示，随着OGD作用时间的延长，SK-N-SH细胞存活率显著降低（ $P < 0.05$ 、0.01、0.001），后续选择12 h作为OGD的处理时间。如图1-B~D所示，与对照组比较，模型组细胞存活率显著降低（ $P < 0.001$ ），凋亡率显著升高（ $P < 0.001$ ），IL-6和TNF-α水平显著升高（ $P < 0.001$ ）；与模型组比较，葛根素组细胞存活率显著升高（ $P < 0.05$ 、0.01、0.001），细胞凋亡率显著降低（ $P < 0.01$ 、0.001），IL-6和TNF-α水平显著降低（ $P < 0.01$ 、0.001），表明葛根素对OGD致细胞损伤具有保护作用，选择40 μg/mL葛根素进行后续研究。



A-OGD 对细胞存活率的影响 B-葛根素对 OGD 诱导的细胞存活率的影响 C-葛根素对 OGD 诱导的细胞凋亡率的影响 D-葛根素对细胞上清液中 IL-6 和 TNF- α 水平的影响 与对照组比较: $^*P < 0.05$ $^{**}P < 0.01$ $^{***}P < 0.001$; 与模型组比较: $^*P < 0.05$ $^{**}P < 0.01$ $^{***}P < 0.001$
A-effect of OGD on survival rate B-effect of puerarin on survival rate of cells induced by OGD C-effect of puerarin on apoptosis rate of cells induced by OGD D-effect of puerarin on levels of IL-6 and TNF- α in cell supernatant induced by OGD $^*P < 0.05$ $^{**}P < 0.01$ $^{***}P < 0.001$ vs control group;
 $^*P < 0.05$ $^{**}P < 0.01$ $^{***}P < 0.001$ vs model group

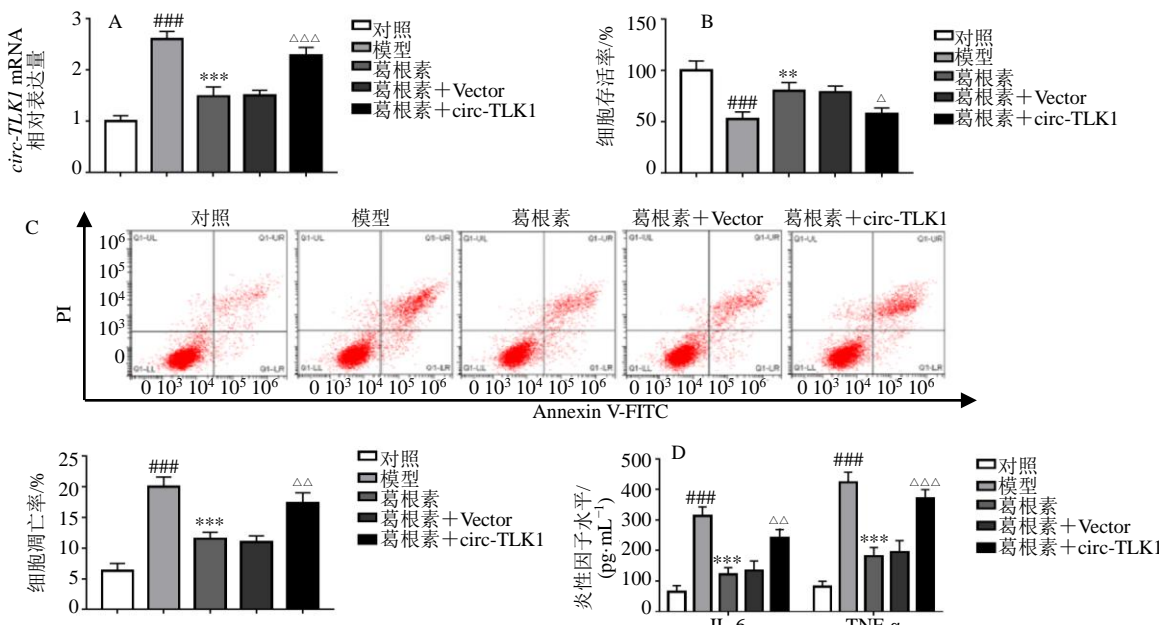
图 1 葛根素抑制 OGD 所致的 SK-N-SH 细胞损伤
Fig. 1 Puerarin inhibited SK-N-SH cells damage induced by OGD

3.2 过表达 *circ-TLK1* 逆转葛根素对 OGD 所致的 SK-N-SH 细胞损伤的保护作用

如图 2 所示, 与对照组比较, 模型组细胞 *circ-TLK1* mRNA 表达水平显著升高 ($P < 0.001$); 与模型组比较, 葛根素组细胞 *circ-TLK1* mRNA 表达水平显著降低 ($P < 0.001$), 表明葛根素对 OGD 致 SK-N-SH 细胞损伤的保护作用可能与 *circ-TLK1* 的表达有关。转染过表达 *circ-TLK1* 后, 细胞 *circ-TLK1* mRNA 表达水平表达显著升高 ($P < 0.001$), 细胞存活率显著降低 ($P < 0.05$), 细胞凋亡率显著升高 ($P < 0.01$), IL-6 和 TNF- α 水平显著升高 ($P < 0.01$ 、 0.001), 表明过表达 *circ-TLK1* 能够逆转葛根素对 OGD 致 SK-N-SH 细胞损伤的保护作用。

3.3 葛根素通过 *circ-TLK1* 靶向调控 miR-367-3p 对 OGD 所致的 SK-N-SH 细胞损伤的保护作用

如图 3 所示, 采用生物信息学在线软件预测 *circ-TLK1* 的下游靶点, 发现 *miR-367-3p* 和 *circ-TLK1* 间存在特异性靶向结合位点, 提示 *miR-367-3p* 可能是 *circ-TLK1* 的直接靶点。采用双荧光素酶报告基因实验和 RIP 实验验证 *miR-367-3p* 和 *circ-TLK1* 的靶向关系, 结果显示, 与 miR-NC 组相比, *miR-367-3p* 组 WT-*circ-TLK1* 荧光素酶相对活性显著降低 ($P < 0.001$), MUT-*circ-TLK1* 荧光素酶相对活性无明显改变; 与 IgG 组相比, Ago2 组 *miR-367-3p* 和 *circ-TLK1* 的富集水平均显著升高 ($P < 0.001$), 表明 *miR-367-3p* 可通过结合位点与 *circ-TLK1* 特异性结合。

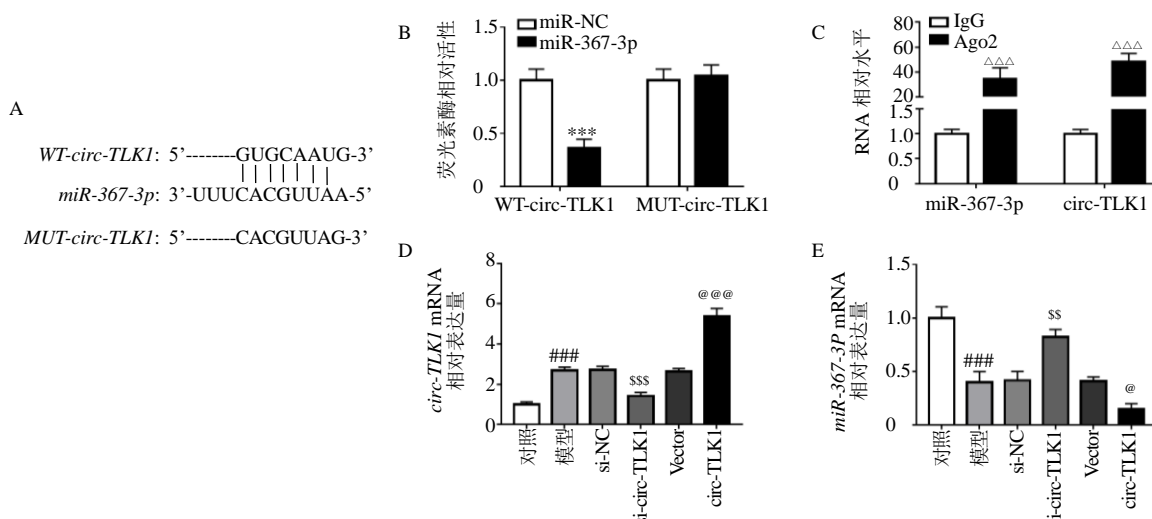


A-葛根素对细胞 *circ-TLK1* mRNA 表达水平的影响 B-过表达 *circ-TLK1* 对细胞存活率的影响 C-过表达 *circ-TLK1* 对细胞凋亡率的影响 D-过表达 *circ-TLK1* 对细胞上清液中 IL-6 和 TNF- α 水平的影响 与对照组比较: ***P<0.001; 与模型组比较: **P<0.01 ***P<0.001; 与葛根素+Vector 组比较: △P<0.05 △△P<0.01 △△△P<0.001

A-effect of puerarin on *circ-TLK1* mRNA level in cells B-effect of *circ-TLK1* overexpression on cell survival C-effect of *circ-TLK1* overexpression on cell apoptosis D-effect of *circ-TLK1* overexpression on levels of IL-6 and TNF- α in cell supernatant ***P < 0.001 vs control group; **P < 0.01 ***P < 0.001 vs model group; △P < 0.05 △△P < 0.01 △△△P < 0.001 vs puerarin + Vector group

图 2 过表达 *circ-TLK1* 逆转葛根素对 OGD 所致的 SK-N-SH 细胞损伤的保护作用

Fig. 2 Overexpression of *circ-TLK1* reversed protective effect of puerarin on SK-N-SH cells injury induced by OGD



A-*circ-TLK1* 和 *miR-367-3p* 的潜在结合序列 B-双荧光素酶报告基因实验验证 *circ-TLK1* 和 *miR-367-3p* 的靶向关系 C-RIP 实验验证 *circ-TLK1* 和 *miR-367-3p* 的相互结合关系 D-qRT-PCR 检测 *circ-TLK1* 的转染效率 E-过表达或抑制 *circ-TLK1* 对 *miR-367-3p* mRNA 表达水平的影响 与 miR-NC 组比较: ***P<0.001; 与 IgG 组比较: △△△P<0.001; 与对照组比较: ***P<0.001; 与 si-NC 组比较: SS P<0.01 SSS P<0.001; 与 Vector 组比较: @P<0.05 @@@P<0.001

A-potential binding sequence of *circ-TLK1* and *miR-367-3p* B-dual luciferase reporter gene experiment to verify the targeting relationship of *circ-TLK1* and *miR-367-3p* C-RIP experiment to verify *circ-TLK1* and *miR-367-3p* interaction relationship D-qRT-PCR to detect the transfection efficiency of *circ-TLK1* E-effect of overexpression or inhibition of *circ-TLK1* on *miR-367-3p* mRNA level ***P < 0.001 vs miR-NC group; △△△P < 0.001 vs IgG group; ##P < 0.01 SSSP < 0.001 vs control group; SS P < 0.01 SSSP < 0.001 vs si-NC group; @P < 0.05 @@@P < 0.001 vs Vector group

图 3 *circ-TLK1* 与 *miR-367-3p* 靶向调控作用

Fig. 3 Targeted regulation of *circ-TLK1* and *miR-367-3p*

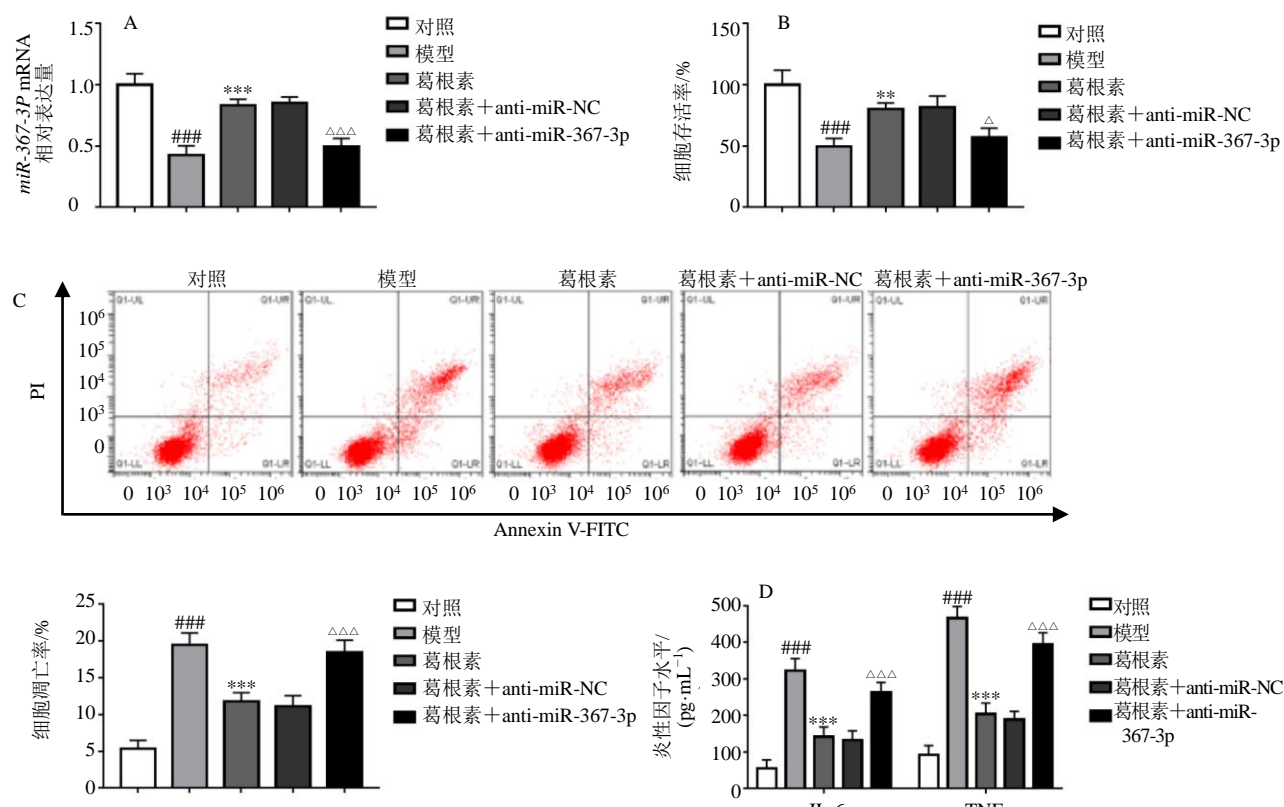
与对照组相比,模型组 *miR-367-3p* mRNA 表达水平显著降低 ($P<0.001$);与 si-NC 组相比,si-circ-TLK1 组 *circ-TLK1* mRNA 表达水平显著降低 ($P<0.001$),*miR-367-3p* mRNA 表达水平显著升高 ($P<0.01$);与 Vector 组相比,circ-TLK1 组 *circ-TLK1* mRNA 表达水平显著升高 ($P<0.001$),*miR-367-3p* mRNA 表达水平显著降低 ($P<0.05$),表明 *circ-TLK1* 能够靶向负调控 *miR-367-3p* 的表达。

如图 4 所示,与对照组相比,模型组 *miR-367-3p* mRNA 表达水平显著降低 ($P<0.001$);与模型组相比,葛根素组 *miR-367-3p* mRNA 表达水平显著升高 ($P<0.001$),表明葛根素对 OGD 致 SK-N-SH 细胞损伤的保护作用可能与 *miR-367-3p* 的表达有关。通过转染抑制 *miR-367-3p* 表达,结果显示,与葛根素+anti-miR-NC 组相比,葛根素+anti-miR-367-3p 组

miR-367-3p mRNA 表达水平显著降低 ($P<0.001$),细胞存活率显著降低 ($P<0.05$),细胞凋亡率显著升高 ($P<0.001$),IL-6 和 TNF- α 水平显著升高 ($P<0.001$),表明抑制 *miR-367-3p* 能够逆转葛根素对 OGD 致 SK-N-SH 细胞损伤的保护作用。

3.4 葛根素通过 *miR-367-3p* 靶向调控 TLR4 对 OGD 所致的 SK-N-SH 细胞损伤的保护作用

如图 5 所示,采用生物信息学在线软件预测 *miR-367-3p* 的下游靶基因,发现 *miR-367-3p* 和 *TLR4* 间存在特异性靶向结合位点,提示 *TLR4* 可能是 *miR-367-3p* 的直接靶基因。采用双荧光素酶报告基因实验和 RIP 实验验证 *miR-367-3p* 和 *TLR4* 的靶向关系,结果显示,与 miR-NC 组相比,miR-367-3p 组 WT-TLR4 荧光素酶相对活性显著降低 ($P<0.001$),MUT-TLR4 荧光素酶相对活性无明显改变;

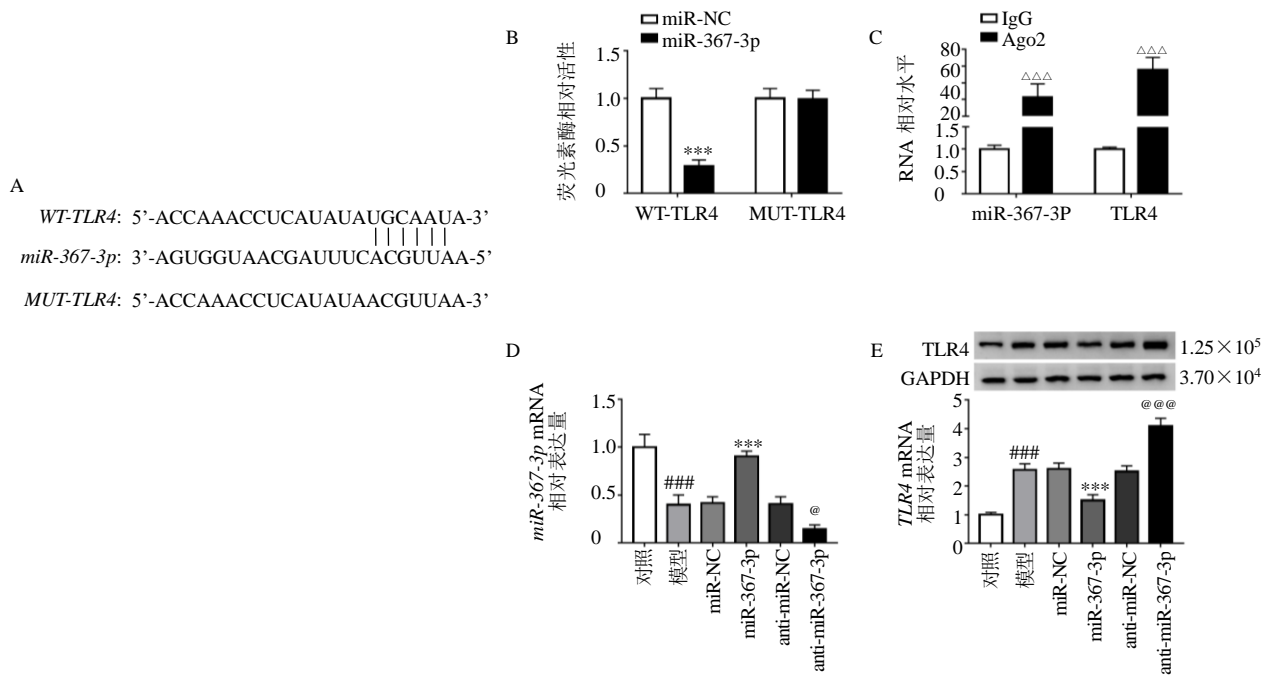


A-葛根素对细胞 *miR-367-3p* mRNA 表达水平的影响 B-抑制 *miR-367-3p* 对细胞存活率的影响 C-抑制 *miR-367-3p* 对细胞凋亡率的影响 D-抑制 *miR-367-3p* 对细胞上清液中 IL-6 和 TNF- α 水平的影响 与对照组比较: $^{###}P<0.001$; 与模型组比较: $^{**}P<0.01$ $^{***}P<0.001$; 与葛根素+anti-miR-NC 组比较: $^{\triangle}P<0.05$ $^{\triangle\triangle}P<0.001$

A-effect of puerarin on *miR-367-3p* mRNA level in cells B-effect of *miR-367-3p* inhibitor on cell survival C-effect of *miR-367-3p* inhibitor on cell apoptosis D-effect of *miR-367-3p* inhibitor on levels of IL-6 and TNF- α in cell supernatant $^{###}P<0.001$ vs control group; $^{**}P<0.01$ $^{***}P<0.001$ vs model group; $^{\triangle}P<0.05$ $^{\triangle\triangle}P<0.001$ vs puerarin + anti-miR-NC group

图 4 葛根素通过促进 *miR-367-3p* 表达对 OGD 致 SK-N-SH 细胞损伤发挥保护作用

Fig. 4 Puerarin protected SK-N-SH cells from OGD induced damage by promoting *miR-367-3p* expression



A-TLR4 和 miR-367-3p 的潜在结合序列 B-双荧光素酶报告基因实验证 TLR4 和 miR-367-3p 的靶向关系 C-RIP 实验证 TLR4 和 miR-367-3p 的相互结合关系 D-qRT-PCR 检测 miR-367-3p 的转染效率 E-过表达或抑制 miR-367-3p 对 TLR4 蛋白表达水平的影响 与 miR-NC 组比较: ***P<0.001; 与 IgG 组比较: △△△P<0.001; 与对照组比较: ###P<0.001; 与 anti-miR-NC 组比较: @P<0.05 @@@P<0.001

A-potential binding sequence of TLR4 and miR-367-3p B-dual luciferase reporter gene experiment to verify the targeting relationship of TLR4 and miR-367-3p C-RIP experiment to verify TLR4 and miR-367-3p interaction relationship D-qRT-PCR to detect the transfection efficiency of miR-367-3p E-effect of overexpression or inhibition of miR-367-3p on TLR4 expression ***P < 0.001 vs miR-NC group; △△△P < 0.001 vs IgG group; ###P < 0.001 vs control group; @P < 0.05 @@@P < 0.001 vs anti-miR-NC group

图 5 TLR4 和 miR-367-3p 靶向调控作用
Fig. 5 Targeted regulation of TLR4 and miR-367-3p

与 IgG 组相比, Ago2 组 TLR4 和 circ-TLK1 的富集水平显著升高 ($P<0.001$), 表明 miR-367-3p 可通过结合位点与 TLR4 特异性结合。

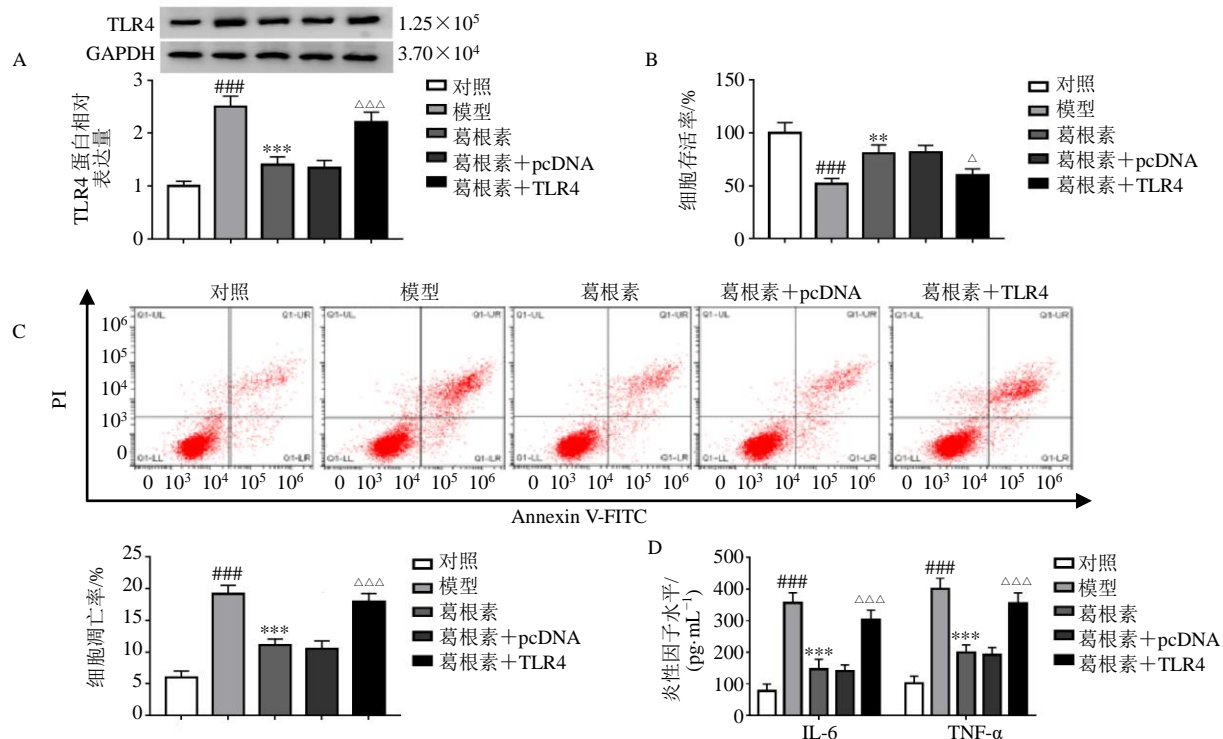
与对照组相比, 模型组 TLR4 蛋白表达水平显著升高 ($P<0.001$); 与 miR-NC 组相比, miR-367-3p 组 miR-367-3p mRNA 表达水平显著升高 ($P<0.001$), TLR4 蛋白表达水平显著降低 ($P<0.001$); 与 anti-miR-NC 组相比, anti-miR-367-3p 组 miR-367-3p mRNA 表达水平显著降低 ($P<0.05$), TLR4 蛋白表达水平显著升高 ($P<0.001$), 表明 miR-367-3p 能够靶向负调控 TLR4 表达。

如图 6 所示, 与对照组相比, 模型组 TLR4 蛋白表达水平显著升高 ($P<0.001$); 与模型组相比, 葛根素组 TLR4 蛋白表达水平显著降低 ($P<0.001$), 表明葛根素对 OGD 致 SK-N-SH 细胞损伤的保护作用可能与 TLR4 表达有关。通过转染过表达 TLR4, 结果显示, 与葛根素+pcDNA 组相比, 葛根素+

TLR4 组 TLR4 蛋白表达水平显著升高 ($P<0.001$), 细胞存活率显著降低 ($P<0.05$), 细胞凋亡率显著升高 ($P<0.001$), IL-6 和 TNF- α 水平显著升高 ($P<0.001$), 表明过表达 TLR4 能够逆转葛根素对 OGD 致 SK-N-SH 细胞损伤的保护作用。

3.5 葛根素通过调控 circ-TLK1/miR-367-3p/TLR4 抑制 OGD 所致的 SK-N-SH 细胞损伤

如图 7 所示, 与对照组相比, 模型组 TLR4 蛋白表达水平显著升高 ($P<0.001$); 与 si-NC 组相比, si-circ-TLK1 组 TLR4 蛋白表达水平显著降低 ($P<0.001$); 与 si-circ-TLK1+anti-miR-NC 组相比, si-circ-TLK1+anti-miR-367-3p 组 TLR4 蛋白表达水平显著升高 ($P<0.01$); 与模型组相比, 葛根素组 TLR4 蛋白表达水平显著降低 ($P<0.001$); 与葛根素+Vector 组相比, 葛根素+circ-TLK1 组 TLR4 蛋白表达水平显著升高 ($P<0.001$); 与葛根素+anti-miR-NC 组相比, 葛根素+anti-miR-367-3p 组

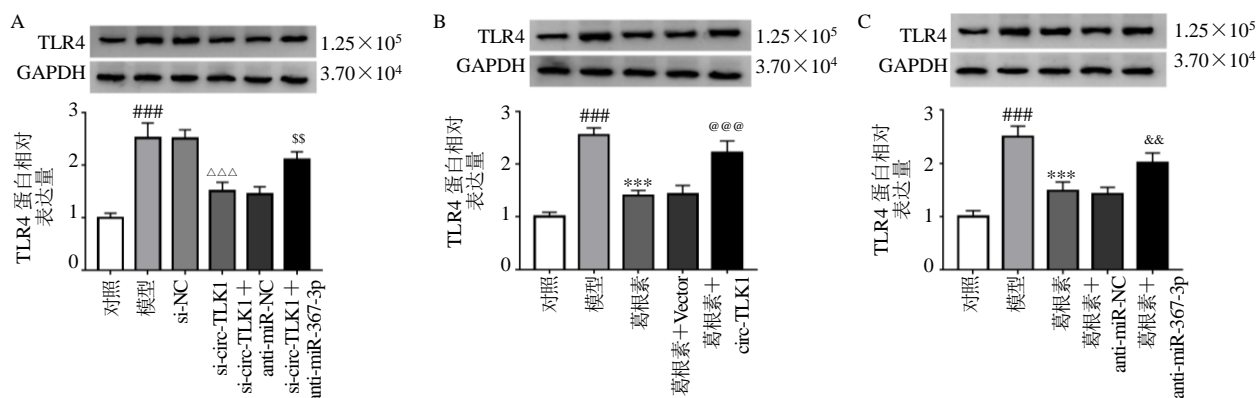


A-葛根素对细胞 TLR4 蛋白表达水平的影响 B-过表达 TLR4 对细胞存活率的影响 C-过表达 TLR4 对细胞凋亡率的影响 D-过表达 TLR4 对细胞上清液中 IL-6 和 TNF- α 水平的影响 与对照组比较: ***P<0.001; 与模型组比较: **P<0.01 ***P<0.001; 与葛根素+pcDNA 组比较: △P<0.05 ^△△P<0.001

A-effect of puerarin on TLR4 expression in cells B-effect of TLR4 overexpression on cell survival C-effect of TLR4 overexpression on cell apoptosis D-effect of TLR4 overexpression on levels of IL-6 and TNF- α in cell supernatant ***P < 0.001 vs control group; **P < 0.01 ***P < 0.001 vs model group; ^△P < 0.05 ^△△P < 0.001 vs puerarin + pcDNA group

图 6 葛根素通过抑制 TLR4 表达对 OGD 致 SK-N-SH 细胞损伤发挥保护作用

Fig. 6 Puerarin protected SK-N-SH cells from OGD induced damage by inhibiting TLR4 expression



A-circ-TLK1 或同时抑制 circ-TLK1 和 miR-367-3p 对 TLR4 蛋白表达水平的影响 B-葛根素联合过表达 circ-TLK1 对 TLR4 蛋白表达水平的影响 C-葛根素联合抑制 miR-367-3p 对 TLR4 蛋白表达水平的影响 与对照组比较: ***P<0.001; 与模型组比较: **P<0.01; 与 si-NC 组比较: ^△△P<0.001; 与 si-circ-TLK1+anti-miR-NC 组比较: \$S P<0.01; 与葛根素+Vector 组比较: @@P<0.001; 与葛根素+anti-miR-NC 组比较: @@P<0.001; 与葛根素+pcDNA 组比较: &&P<0.01

A-effect of circ-TLK1 or simultaneous inhibition of circ-TLK1 and miR-367-3p on TLR4 protein expression B-effect of puerarin combined with overexpression circ-TLK1 on TLR4 protein expression C-effect of puerarin combined miR-367-3p inhibitor on TLR4 protein expression ***P < 0.001 vs control group; **P < 0.01 vs model group; ^△△P < 0.001 vs si-NC group; \$S P < 0.01 vs si-circ-TLK1+anti-miR-NC group; @@P < 0.001 vs puerarin+pcDNA group; &&P < 0.01 vs puerarin+anti-miR-NC group

图 7 葛根素对 circ-TLK1/miR-367-3p/TLR4 的调控作用

Fig. 7 Regulatory effect of puerarin on circ-TLK1/miR-367-3p/TLR4

TLR4 蛋白表达水平显著升高 ($P<0.01$)。

4 讨论

IS 为危害我国中老年人健康及生活质量的主要疾病，具有高发病率、高致残率、高死亡率及高复发率等特点^[12-13]。研究发现，葛根中的葛根素可以改善血液循环并减少心血管和脑血管疾病；葛根素能够减少脑缺血再灌注引起的神经元损伤，并降低脑卒中神经细胞损伤过程^[14-17]。本研究发现葛根素可以有效提高 OGD 诱导的 SK-N-SH 细胞存活率，降低细胞凋亡率，降低 IL-6 和 TNF- α 水平，表明葛根素对 IS 神经细胞损伤具有保护作用。

CircRNA 在组织中特异性表达，具有高度同源性、结构稳定等特点^[18-19]。本研究结果显示，OGD 诱导的 SK-N-SH 细胞中 *circ-TLK1* mRNA 表达水平显著升高，与文献报道一致^[10]；葛根素显著下调 *circ-TLK1* mRNA 表达，过表达 *circ-TLK1* 能够逆转葛根素对 OGD 致 SK-N-SH 细胞损伤的保护作用，表明葛根素通过降低 SK-N-SH 细胞中 *circ-TLK1* 表达，从而发挥抗脑卒中的作用。circRNA 通常被用作 miRNA 的分子海绵来调节 mRNA 表达。研究发现，*miR-367-3p* 具有明显的抗 IS 的作用^[20]。本研究结果显示，*miR-367-3p* 为 *circ-TLK1* 的靶 miRNA，*circ-TLK1* 可以负向调节 *miR-367-3p* 表达；模型组 SK-N-SH 细胞 *miR-367-3p* mRNA 表达水平明显降低，葛根素显著上调 *miR-367-3p* mRNA 表达，抑制 *miR-367-3p* 能够逆转葛根素对 OGD 致 SK-N-SH 细胞损伤的保护作用，表明葛根素可能通过下调 *circ-TLK1* 表达并上调 *miR-367-3p* 表达，从而发挥抗脑卒中的作用。

本研究通过生物信息学软件搜索 *miR-367-3p* 的靶基因，并将 TLR4 确认为 *miR-367-3p* 的直接靶点。*miR-497* 能够通过调节 TLR4 和环磷腺苷反应元件结合蛋白 (cAMP-responsive element-binding protein, CREB) 信号传导途径减轻患者脑梗死^[21]。*miR-182-5p* 通过调节 TLR4 介导的炎性反应，在脑缺血再灌注损伤中发挥神经保护作用^[22]。本研究结果显示，模型组 TLR4 蛋白表达水平显著降低，葛根素上调 TLR4 蛋白表达，过表达 TLR4 能够逆转葛根素对 OGD 致 SK-N-SH 细胞损伤的保护作用；此外，*circ-TLK1* 能够通过结合 *miR-367-3p* 来调节 TLR4 蛋白表达。以上结果表明，葛根素通过 *circ-TLK1/miR-367-3p/TLR4* 轴抑制 IS 中的神经细胞损伤。

综上，葛根素能够有效提高 IS 体外模型中 SK-N-SH 细胞存活率，抑制细胞凋亡，减少炎性因子的分泌，对神经细胞损伤具有保护作用，其作用机制与调控 *circ-TLK1/miR-367-3p/TLR4* 有关。

利益冲突 所有作者均声明不存在利益冲突

参考文献

- [1] Hathidara M Y, Saini V, Malik A M. Stroke in the young: A global update [J]. *Curr Neurol Neurosci Rep*, 2019, 19(11): 91.
- [2] Barthels D, Das H. Current advances in ischemic stroke research and therapies [J]. *Biochim Biophys Acta Mol Basis Dis*, 2020, 1866(4): 165260.
- [3] Wang Y Z, Tian D, Wei C W, et al. Propofol attenuates α -synuclein aggregation and neuronal damage in a mouse model of ischemic stroke [J]. *Neurosci Bull*, 2020, 36(3): 289-298.
- [4] Zhang L. Pharmacokinetics and drug delivery systems for puerarin, a bioactive flavone from traditional Chinese medicine [J]. *Drug Deliv*, 2019, 26(1): 860-869.
- [5] Song Q T, Zhao Y, Li Q, et al. Puerarin protects against iron overload-induced retinal injury through regulation of iron-handling proteins [J]. *Biomed Pharmacother*, 2020, 122: 109690.
- [6] Long Y, Yang Q, Xiang Y, et al. Nose to brain drug delivery-A promising strategy for active components from herbal medicine for treating cerebral ischemia reperfusion [J]. *Pharmacol Res*, 2020, 159: 104795.
- [7] Miao L, Yin R X, Zhang Q H, et al. A novel circRNA-miRNA-mRNA network identifies circ-YOD1 as a biomarker for coronary artery disease [J]. *Sci Rep*, 2019, 9(1): 18314.
- [8] Zuo L, Zhang L, Zu J, et al. Circulating circular RNAs as biomarkers for the diagnosis and prediction of outcomes in acute ischemic stroke [J]. *Stroke*, 2020, 51(1): 319-323.
- [9] Wang Q W, Liu X, Zhao J J, et al. Circular RNAs: Novel diagnostic and therapeutic targets for ischemic stroke [J]. *Expert Rev Mol Diagn*, 2020, 20(10): 1039-1049.
- [10] Wu F, Han B, Wu S, et al. Circular RNA *TLK1* aggravates neuronal injury and neurological deficits after ischemic stroke via *miR-335-3p/TIPARP* [J]. *J Neurosci*, 2019, 39(37): 7369-7393.
- [11] 吴静蕊, 王龙虎, 杨海慧, 等. mGluR4激动剂对氧糖剥夺 SH-SY5Y 细胞损伤的保护作用研究 [J]. 神经解剖学杂志, 2018, 34(6): 679-686.
- [12] Stinear C M, Lang C E, Zeiler S, et al. Advances and challenges in stroke rehabilitation [J]. *Lancet Neurol*, 2020, 19(4): 348-360.

- [13] Gu X, Li Y, Chen S, et al. Association of lipids with ischemic and hemorrhagic stroke: A prospective cohort study among 267 500 Chinese [J]. *Stroke*, 2019, 50(12): 3376-3384.
- [14] Guan L N, Li C, Zhang Y, et al. Puerarin ameliorates retinal ganglion cell damage induced by retinal ischemia/reperfusion through inhibiting the activation of TLR4/NLRP3 inflammasome [J]. *Life Sci*, 2020, 256: 117935.
- [15] Ni S Y, Zhong X L, Li Z H, et al. Puerarin alleviates lipopolysaccharide-induced myocardial fibrosis by inhibiting PARP-1 to prevent HMGB1-mediated TLR4-NF- κ B signaling pathway [J]. *Cardiovasc Toxicol*, 2020, 20(5): 482-491.
- [16] Zhang Y, Yang X, Ge X H, et al. Puerarin attenuates neurological deficits via Bcl-2/Bax/cleaved caspase-3 and Sirt3/SOD2 apoptotic pathways in subarachnoid hemorrhage mice [J]. *Biomed Pharmacother*, 2019, 109: 726-733.
- [17] 黄亚光, 王金凤, 杜利鹏, 等. 葛根素调节 AMPK-mTOR 信号通路抑制自噬改善大鼠脑缺血再灌注损伤研究 [J]. 中草药, 2019, 50(13): 3127-3133.
- [18] Shafabakhsh R, Mirhosseini N, Chaichian S, et al. Could circRNA be a new biomarker for pre-eclampsia? [J]. *Mol Reprod Dev*, 2019, 86(12): 1773-1780.
- [19] Li J J, Wang W, Wang X Q, et al. A novel strategy of identifying circRNA biomarkers in cardiovascular disease by meta-analysis [J]. *J Cell Physiol*, 2019, 234(12): 21601-21612.
- [20] Tabet F, Lee S, Zhu W, et al. microRNA-367-3p regulation of GPRC5A is suppressed in ischemic stroke [J]. *J Cereb Blood Flow Metab*, 2020, 40(6): 1300-1315.
- [21] Chen S, Yin W, Bi K, et al. MicroRNA-497 attenuates cerebral infarction in patients via the TLR4 and CREB signaling pathways [J]. *Int J Mol Med*, 2018, 42(1): 547-556.
- [22] Wang J, Xu Z, Chen X, et al. MicroRNA-182-5p attenuates cerebral ischemia-reperfusion injury by targeting Toll-like receptor 4 [J]. *Biochem Biophys Res Commun*, 2018, 505(3): 677-684.

[责任编辑 李亚楠]